

Boletín Diario Oceanográfico

Vol. 3, N°. 356

Miércoles, 21 de diciembre del 2016

El Boletín Diario Oceanográfico, del Instituto del Mar del Perú (IMARPE), reporta información de temperatura del agua y sus anomalías en el mar peruano, en base a mediciones directas en la

red de estaciones costeras del IMARPE y a registros de percepción remota. El propósito es monitorear los efectos de la variabilidad de corto plazo en la temperatura superficial del mar.

TEMPERATURA SUPERFICIAL DEL MAR PERUANO

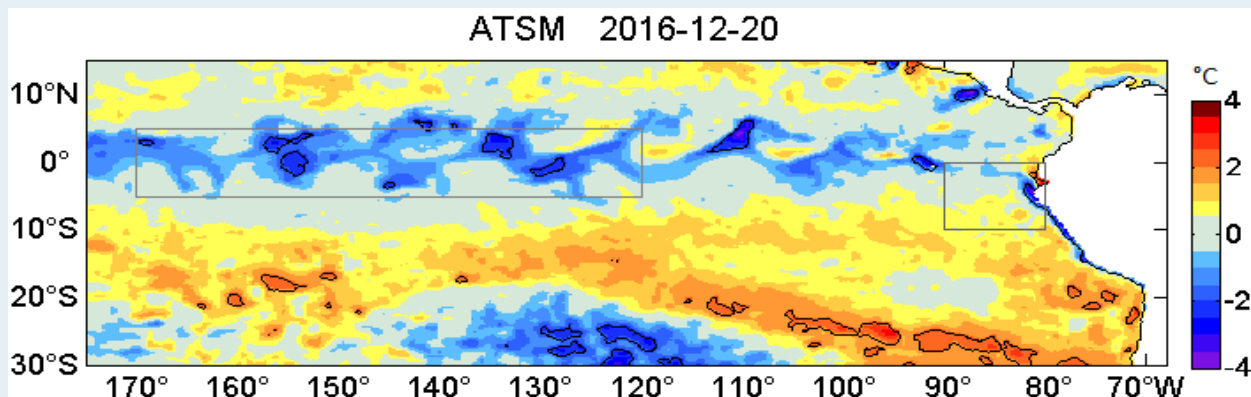


Figura 1. Anomalías de la temperatura superficial del mar ($^{\circ}\text{C}$) en el océano Pacífico tropical. Las regiones Niño 3.4 y Niño 1+2 en los sectores central y oriental del océano, respectivamente, están delimitadas con una línea de color negro. Datos: AVHRR Global Reyn_SmithOlv2R (Reynolds, et. al., 2007) de CMB/EMC/NCEP de la Administración Nacional del Océano y la Atmósfera (NOAA, según sus siglas en inglés). Procesamiento: IMARPE.

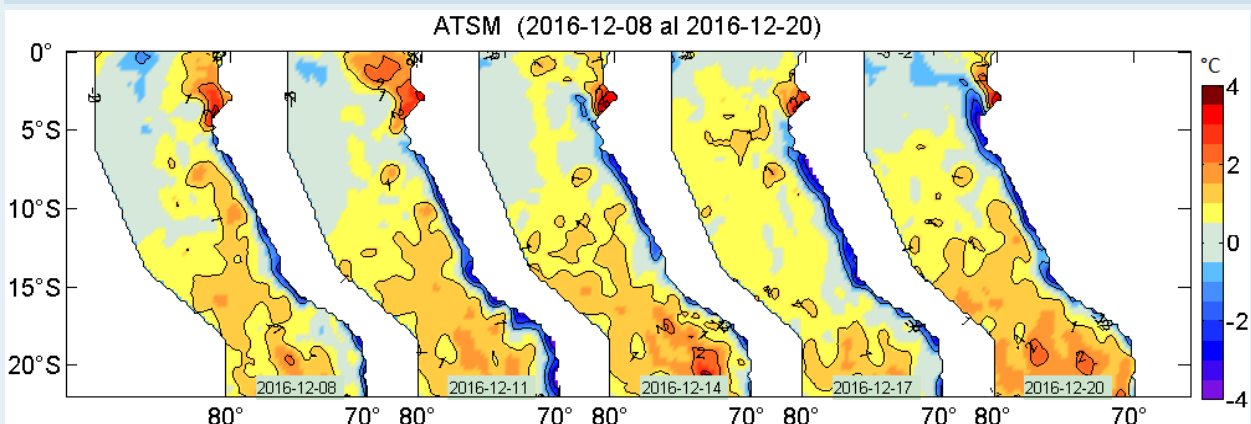


Figura 2. Anomalías de la temperatura superficial del agua ($^{\circ}\text{C}$) en el mar peruano, cada tres días, entre el 08 y 20 de diciembre del 2016. Datos: AVHRR Global Reyn_SmithOlv2R (Reynolds, et. al., 2007) de CMB/EMC/NCEP de la NOAA. Procesamiento: IMARPE.

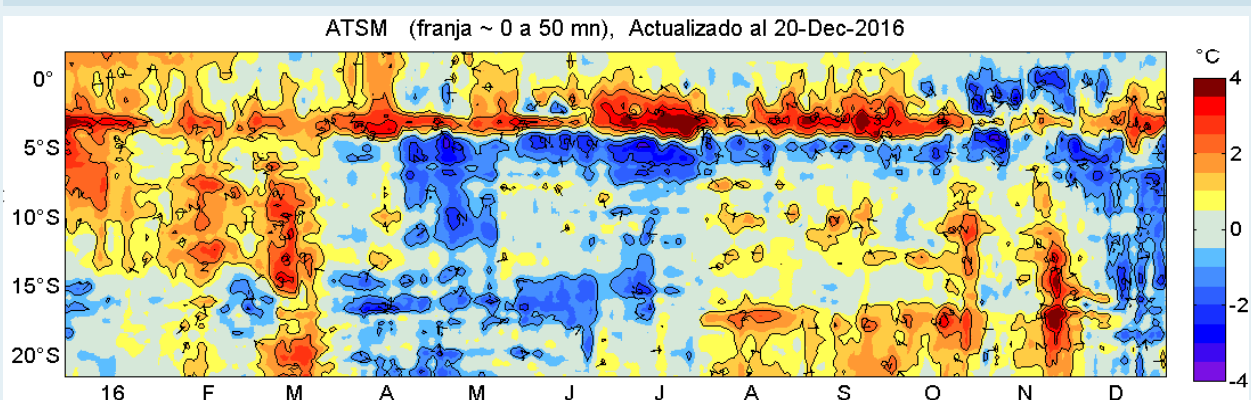


Figura 3. Evolución latitudinal de las anomalías promedio diarias de la temperatura superficial del mar ($^{\circ}\text{C}$) para la franja de ~50 mn adyacentes al litoral peruano. Datos: AVHRR Global Reyn_SmithOlv2R (Reynolds, et. al., 2007) de CMB/EMC/NCEP de la NOAA. Procesamiento: IMARPE.

Boletín Diario Oceanográfico

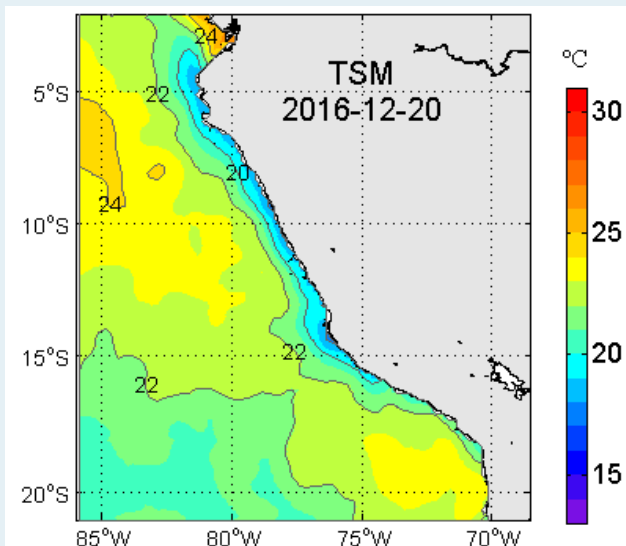


Figura 4. Distribución espacial de la temperatura superficial del mar (°C) peruano. Datos: AVHRR/NOAA. Procesamiento: IMARPE.

Tabla 1. Promedio diario de la temperatura superficial del mar (°C) y sus anomalías registradas el 20 de diciembre de 2016 en la red de estaciones costeras del IMARPE. Las anomalías se han calculado con respecto del promedio climatológico mensual de cada estación.

Estación	T, °C	ΔT, °C
Tumbes	28,20	1,40
Paita	17,43	-1,37
San José	19,70	-0,50
Chicama	16,53	-0,27
Huanchaco	16,03	-0,77
Chimbote	19,57	-0,93
Huacho	15,67	-0,83
Callao	15,23	-0,57
Pisco	25,40	+3,80
Atico	16,37	-
Matarani	16,43	-
Ilo	17,33	0,63

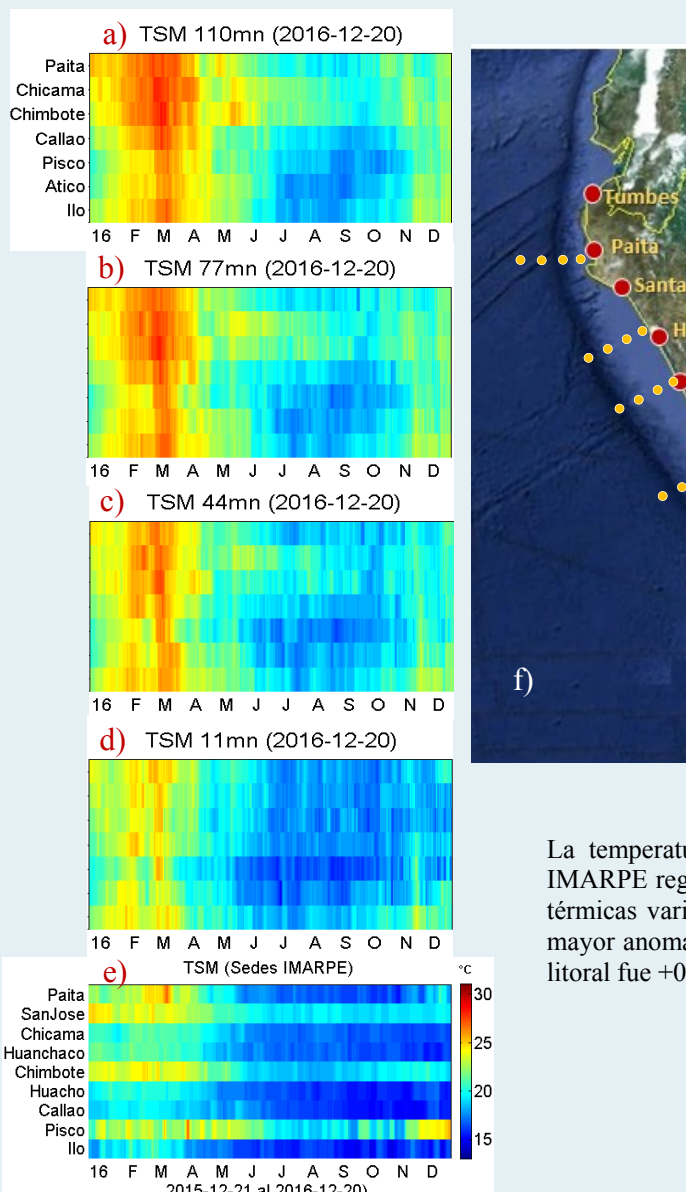


Figura 5. Evolución latitudinal de la temperatura superficial del mar (°C) diaria para puntos seleccionados en el mar peruano ubicados a a) 110 mn, b) 77 mn, c) 44 mn, d) 11 mn y, e) en las estaciones costeras de IMARPE en el litoral peruano. La localización de los puntos en el océano y en el litoral peruano se aprecian en la figura (f) en la forma de círculos en colores amarillo y rojo, respectivamente. Datos: AVHRR/NOAA para (a-d) y de la red de estaciones costeras de IMARPE para (e). Procesamiento: IMARPE.

La temperatura superficial del mar disponible en la red de estaciones costeras de IMARPE registró valores entre 15,23 °C (Callao) y 28,20 °C (Tumbes). Las anomalías térmicas variaron entre -1,37 °C (Paita) y +3,80°C (Pisco), registrándose la siguiente mayor anomalía en Tumbes (+1,40 °C). El promedio de las anomalías térmicas para el litoral fue +0.06 °C (Tabla 1, Figura 6).

Boletín Diario Oceanográfico

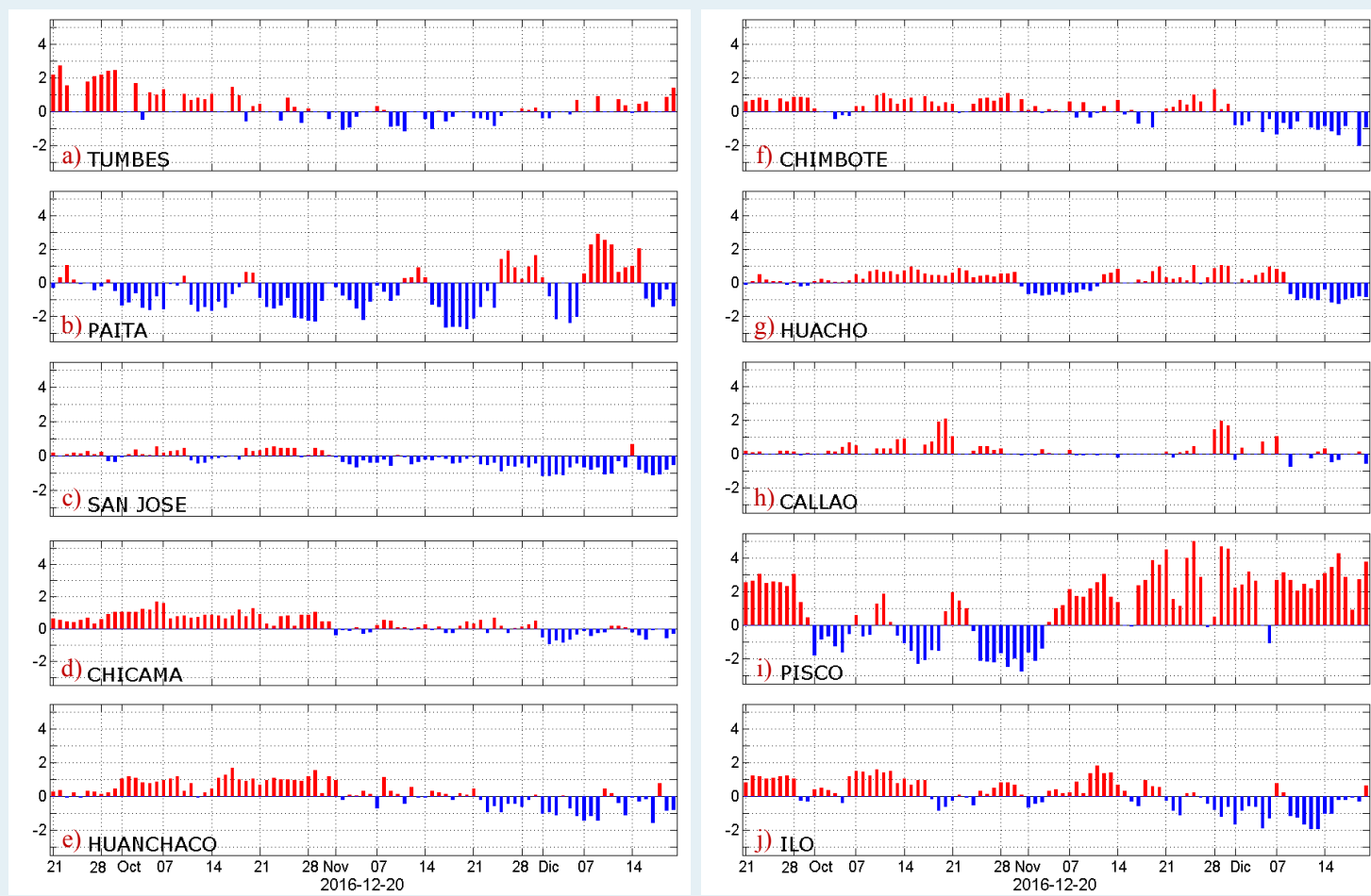


Figura 6. Series temporales del promedio diario de las anomalías de la temperatura superficial del mar ($^{\circ}\text{C}$) en la red de estaciones costeras de IMAR-PE durante el último trimestre. Datos y procesamiento: IMARPE.

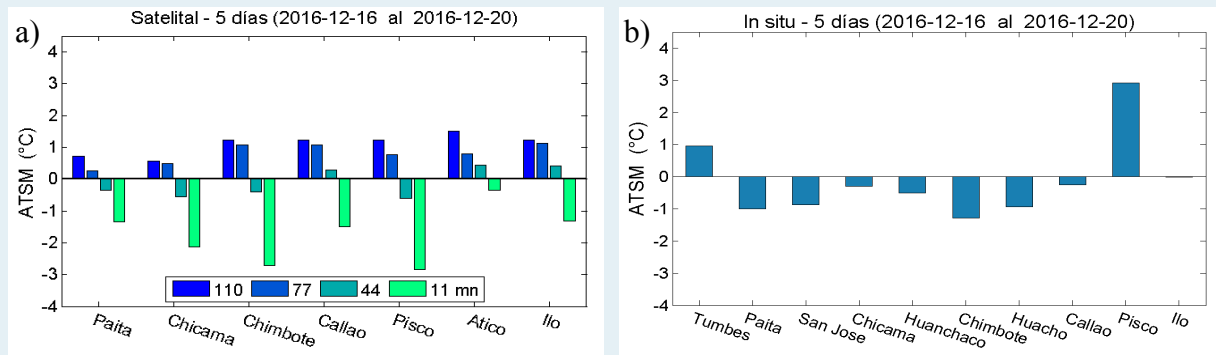


Figura 7. Promedios cada 5 días de las anomalías de la temperatura superficial del mar ($^{\circ}\text{C}$) basados en: a) Observaciones satelitales en puntos de monitoreo ubicados a distancias aprox. de 110, 77, 44 y 11 mn de la costa y, b) Registros *in situ* en las estaciones costeras de IMARPE. Datos: AVHRR Global Reyn_SmithOl2R (Reynolds, et. al., 2007) de CMB/EMC/NCEP de la NOAA para (a) y de la red de estaciones costeras de IMARPE para (b). Procesamiento: IMARPE.

En el litoral, las anomalías de los promedios de temperaturas *in situ* registradas los últimos cinco días variaron de $-1,29^{\circ}\text{C}$ (Chimbote) a $+2,92^{\circ}\text{C}$ (Pisco), (Figura 7 b).